

عناصر المصفوفة المختزلة واحتمالية الانتقالات
المغناطيسية ثنائية القطب للجسيم الواحد والجسيمين
لنظائر $Ba(A=130-136)$ الزوجية - زوجية باستعمال
IBM-1

ايمان طارق العلوي و خالد سلمان ابراهيم
قسم الفيزياء، كلية العلوم، الجامعة المستنصرية

الخلاصة

تم في هذا البحث دراسة التركيب النووي لنظائر الباريوم الزوجية-الزوجية ذي الاعداد الكتلية $(A=130-136)$ باستخدام نموذج البوزونات المتفاعلة الاول (IBM-1). اذ حسبت عناصر المصفوفة المختزلة $\langle I_f || \hat{T}^{(M1)} || I_i \rangle$ لعزم ثنائي القطب المغناطيسي واحتمالية الانتقالات المغناطيسية ثنائية القطب $B(M1)$ لحدود الجسيم الواحد والجسيمين. ولقد اظهرت النتائج توافقاً جيداً مع القياسات العملية المتوافرة لمعظمها.

المقدمة

نالت دراسة الحالات المثيجة للنوى الزوجية-زوجية اهتمام الكثير من الباحثين، اذ جرت دراسات عملية ونظرية غرضها الحصول على وصف كامل لكل حالة من حالات التهيج وذلك من خلال حساب الطاقة واحتمالية الانتقالات الكهربائية والمغناطيسية والزخم الزاوي والتماثل وحساب قيم عزم ثنائي القطب المغناطيسي وعزم رباعي القطب الكهربائي.

إن العزم المغناطيسي ثنائي القطب (Magnetic Dipole Moment) هو أحد الخواص التي تمتلكها معظم النوى والناتج عن حركة البروتونات ذي الشحنة الموجبة في مدارات مغلقة داخل النواة، في حين تسهم النيوترونات بالعزوم المغناطيسية نتيجة لامتلاكها زخما زاويا ذاتيا (1،2،3) .

ينتج العزم المغناطيسي من جراء توزيع الشحنات والتيارات الكهربائية ويحدد بواسطة العدد الكمي المداري (L)، فعندما يكون (L=0, Monople) أي أن الحركة المدارية تساوي صفرا فهذا يعني وجود مجال كهربائي أحادي القطبية. وعندما يكون (L=1, Dipole) أي أن هناك حركة مدارية للشحنات الكهربائية في مدارات مغلقة مما ينتج عنها مجالا مغناطيسيا ثنائي القطبية (1). نجح انموذج القشرة بشكل جيد في تحديد برم الحالة الأرضية للنوى وتمائلها وبنجاح اقل في حساب العزوم المغناطيسية ثنائية القطب والكهربائية رباعية القطب وفي تحديد المستويات المتهيجة والأعداد السحرية وذلك لدخول جسيم منفرد او فجوة منفردة في حساب هذا الانموذج (3).

الأسس النظرية

يمكن وصف المستويات التجميعية الواطنة (Low Lying Collective States) في النوى الزوجية-زوجية بدلالة بوزونات s ذات $J^\pi = 0^+$ وبوزونات d ذات $J^\pi = 2^+$ وكآلاتي(4):

$$\begin{array}{ll} \hat{s}^+ , \hat{d}_\mu^+ & \mu = 0, \pm 1, \pm 2 \\ \hat{s} , \hat{d}_\mu & \mu = 0, \pm 1, \pm 2 \end{array} \dots\dots [1]$$

إن الصيغة العامة لمعادلة مؤثرات الانتقالات الكهرومغناطيسية تكتب كما يأتي(5):

$$\hat{T}_\mu(L) = \alpha_2 [\hat{d}^+ \times \hat{s} + \hat{s}^+ \times \hat{d}]_\mu^2 + \beta_L [\hat{d}^+ \times \hat{d}]_\mu(L) + \gamma_0 [\hat{s}^+ \times \hat{s}]_0^0 \dots [2]$$

إذ إن $\alpha_2, \beta_L, \gamma_0$ هي اعلومات (Parameters) تشترك لتحقيق الانتقالات الكهرومغناطيسية بين الحالة الابتدائية والحالة النهائية، وان β_L (L=0, 1, 2, 3, 4)

ويمثل الحد الأول من المعادلة α_2 الانتقال الكهرومغناطيسي عندما $L=2$ ويمثل الحد الأخير γ_0 من المعادلة الانتقال الكهرومغناطيسي عندما $L=0$. يكتب مؤثر ثنائي القطب المغناطيسي لحد الجسم الواحد وحدود الجسمين بالصيغة الآتية (4):

$$\begin{aligned} \hat{T}_\mu^{(M)} = & \beta'_1 \left[d^+ \times \tilde{d} \right]_\mu^{(1)} + \alpha'_1 \left[\left[d^+ \times \tilde{s} + s^+ \times \tilde{d} \right]^{(2)} \times \left[d^+ \times \tilde{d} \right]^{(1)} \right]_\mu^{(1)} + \\ & \gamma'_1 \left[\left[d^+ \times \tilde{d} \right]^{(0)} \times \left[d^+ \times \tilde{d} \right]^{(1)} \right]_\mu^{(1)} + \delta'_1 \left[\left[d^+ \times \tilde{d} \right]^{(2)} \times \left[d^+ \times \tilde{d} \right]^{(1)} \right]_\mu^{(1)} \\ & + \eta'_1 \left[\left[s^+ \times \tilde{s} \right]^{(0)} \times \left[d^+ \times \tilde{d} \right]^{(1)} \right]_\mu^{(1)} \quad \dots [3] \end{aligned}$$

إذ ان $\alpha'_1, \delta'_1, \gamma'_1, \eta'_1$ معاملات خطية (Linear Coefficients) أما احتمالات الانتقالات المغناطيسية ثنائية القطب فتكتب كما يأتي (5) :

$$B(M1, I_i \rightarrow I_f) = \frac{1}{2L+1} |\langle I_f || \hat{T}^{(M1)} || I_i \rangle|^2 \quad \dots [4]$$

ويحسب العزم المغناطيسي μ_L حسب العلاقة الآتية (5):

$$\mu_L = g_B L \quad \dots [5]$$

ويمثل g_B العامل g للـ بوزون الفعال (Effective Boson g-Factor) وان العزم المغناطيسي μ_L يتناسب مع الزخم الزاوي L . ويعرف العامل g_L بالصيغة الآتية (4):

$$g_L = g_B \quad \dots [6]$$

$$g_L = \mu_L / L \quad \dots [7]$$

ويمكن أن نلاحظ أن (\hat{n}_d) مؤثر عدد بوزونات d و \hat{L} مؤثر الزخم الزاوي يرتبطان بالعلاقة التبادلية الآتية (4):

$$[\hat{n}_d, L_\mu] = 0 \quad \mu = 0, \pm 1 \quad \dots [8]$$

تعتمد عناصر المصفوفة المختزلة القطرية $\langle I_r \parallel \hat{T}^{(MI)} \parallel I_r \rangle$ فقط على \hat{L} في كل من الزمرة الاهتزازية الدورانية وزمرة كاما غير المستقرة.

النتائج والمناقشة

لغرض دراسة احتمالية الانتقالات المغناطيسية ثنائية القطب وعناصر المصفوفة المختزلة ومعرفة الخصائص التي تتميز بها النظائر الزوجية-زوجية لنواة الباريوم $(Ba, A=130-136, Z=56)$ فقد تم حسابها باستخدام نموذج البوزونات المتفاعلة الاول وحسب التناظرات الديناميكية التي تنتمي اليها نظائر الباريوم موضوع البحث.

يبين الجدول (1) المعلومات التي حصلنا عليها لحدود الجسيم الواحد والجسيمين للعدد الكلي للبوزونات لافضل تطابق مع القيم العملية المتوفرة لـ $B(M1)$ وذلك حسب المعادلة (3) ولجميع النظائر قيد البحث إذ ان β'_1 تمثل المعلومات الخاصة بتفاعل بوزونات d (حد الجسيم الواحد) $\alpha'_1, \delta'_1, \gamma'_1, \eta'_1$ تمثل المعلومات الخاصة بتفاعل بوزونات s مع بوزونات d (حد الجسيمين).

يبين الشكل (1) قيم المعلومات دالة للأعداد الكتلية ونلاحظ بالنسبة الى الجسيم الواحد والجسيمين اعتماد الشكل على المعلومات β'_1 بشكل واضح من بقية المعلومات وتكون ذات قيم متفاوتة ما بين (0.4512 - 0.6500) مما يدل ان تصرف هذه النظائر يقع ضمن المنطقة الانتقالية التي تأخذ الشكل ما بين Prolate, Oblate وهذا ما أكدته النتائج التي حصلنا عليها بوجود التصرف الديناميكي $O(6)$ مشاركة مع بعض التناظرات الديناميكية الأخرى.

تعد دراسة الانتقالات المغناطيسية ثنائية القطب أحد الجوانب المهمة في دراسة التركيب النووي وفي دراسة احتمالية الانتقالات المغناطيسية فضلاً عن عناصر المصفوفة المختزلة لنظائر الباريوم $(A=130-136)$ الزوجية-زوجية.

يمثل الجدول (2) احتمالية الانتقالات المغناطيسية ثنائية القطب وعناصر المصفوفة المختزلة لحدود الجسيم الواحد والجسيمين للعدد الكلي للبوزونات للنظائر نفسها. تبين الأشكال (2) إلى (5) تبين احتمالية الانتقالات المغناطيسية لحدود الجسيم الواحد والجسيمين ونلاحظ أن أقوى الانتقالات هي $g \rightarrow \gamma_1$ وهي تخضع لقواعد الانتقاء

لانتقالات M1 أما الانتقالات من $\beta_1 \rightarrow \gamma_1$ والمتمثلة بالانتقال $2_3^+ \rightarrow 2_2^+$ فكانت احتمالية الانتقال المغناطيسي ثنائي القطب لها ضعيفة جدا ، وجميع هذه الانتقالات تتخفص بزيادة الاعداد الكتلية بسبب اقترابها من القشر المغلقة (closed shell).
يحتوي الجدول (3) على قيم μ_L و g_L لحد الجسيم الواحد وحدود الجسيمين للعدد الكلي للبوزونات ومقارنتها مع القيم العملية والقليلة جدا. ان النتائج التي تم الحصول عليها تحقق المعادلة (7) وتحقق افضل تطابق تم الحصول عليه لقيم g_L و μ_L لنظائر الباريوم (Ba,A=130-136) في حسابات B(M1) و $\langle I_f || \hat{T}^{(M1)} || I_i \rangle$ للجسيم الواحد والجسيمين.

المصادر

1. Krane, K.S. (1987). "Introduction Nuclear Physics", Ed. Hall day, D.Pub. John Wiley and Sons.
2. Seimant, H. and Al-Bright, J. (1970). "Introduction to Atomic and Nuclear Physics" Holt Rinttert and Winston , Inc..
3. د. عادل منيب، (1996). "الفيزياء النووية" كلية العلوم، جامعة الموصل.
4. Arima, A. and Iachello, F.(1987). "The Interacting Boson Model", Ed. F. Iachello, Pub. Syndicate of University of Cambridge, England.
5. Bonatsos, D. (1988). "Interacting Boson Models of Nuclear Structure" Ed. P.P.E. Hodgson, Pub. United States – Oxford University Press, New York.
6. Arima, A.; Otsuk, A. and Iachello, F.(1978). Nucl. Phys. A, Vol. 309, PP. 1-33.
7. Sholten, O. (1983). Phys. Rev. C, Vol.28, PP. 1783-1790.
8. Van, P.; Saiker, I.; Gelberg, A. and Brantano, P.V.(1987). Phys. Rev. C, Vol.36, P. 441.
9. Lojudice, N. (1988). Phys. Rev. C, Vol.38, PP. 2895-2901.
10. Casten, R.F. and Warner, D.D. (1988). Rev. Mod. Phys. C., Vol.60, PP. 389-469.
11. Zilges, A.; Von Brentano, P. and Hrezberg, R.D. (1996). Nucl Phys. A, Vol.599, PP. 147C-152C.
12. Chen, J.Q. (1998). Nucl. Phys. A, Vol. 639, PP. 615-634.

13. Brennan, J.M. et. al. (1980). Phys. Rev.C, Vol.21, PP. 574-578.
14. Pramila, R. (1989). Atomic Data and Nuclear Data Tables, Vol.42, P. 189.
15. Endt, P.M. (1981). Atomic Data and Nuclear Data Table, Vol.26, P.47.

جدول (1) الاغلوامات الخاصة بمؤثر الانتقالات المغناطيسية ثنائية القطب لحدود الجسيم الواحد والجسيمين للعدد الكلي للبيوزونات.

Parameters C_n	Isotopes				(1&2) Body
	$^{130}_{56}\text{Ba}_{74}$	$^{132}_{56}\text{Ba}_{76}$	$^{134}_{56}\text{Ba}_{78}$	$^{136}_{56}\text{Ba}_{80}$	
β'_1	0.4512	0.4695	0.6500	0.5435	
α'_1	0.0010	0.0010	0.0010	0.0010	
γ'_1	0.02289	0.0233	0.02289	0.0439	
δ'_1	0.0350	0.0050	0.0035	0.0015	
η'_1	0.00494	0.00423	0.004946	0.0493	

جدول رقم (2) عناصر المصفوفة المختزلة واحتمالية الانتقالات المقاطيسية ثنائية القطب لحدود الجسم الواحد و الجسيمين للمعد الكلي

لليوزونك لنظام الباريوم $^{130-136}\text{Ba}$ (A=130-136)

Spin Sequences	$^{130}\text{Ba}_{74}$		$^{132}\text{Ba}_{76}$		$^{134}\text{Ba}_{78}$		$^{136}\text{Ba}_{80}$	
	$\langle I_f \hat{T}^{(M)} I_i \rangle$ (\square_n)	B(MI) (\square_n) ²	$\langle I_f \hat{T}^{(M)} I_i \rangle$ (\square_n)	B(MI) (\square_n) ²	$\langle I_f \hat{T}^{(M)} I_i \rangle$ (\square_n)	B(MI) (\square_n) ²	$\langle I_f \hat{T}^{(M)} I_i \rangle$ (\square_n)	B(MI) (\square_n) ²
$4_1^+ \rightarrow 2_1^+$	0.325×10^{-1}	0.1228×10^{-3}	0.1990×10^{-1}	0.4402×10^{-4}	0.6605×10^{-1}	0.4847×10^{-5}	0.2791×10^{-4}	0.8661×10^{-10}
$2_2^+ \rightarrow 2_1^+$	0.3241×10^{-1}	0.2101×10^{-3}	0.9123	0.1664	-0.6765×10^{-2}	0.9155×10^{-3}	-0.2432×10^{-1}	0.1183×10^{-3}
$3_1^+ \rightarrow 2_2^+$	0.2212×10^{-1}	0.6995×10^{-4}	0.6028×10^{-9}	0.5191×10^{-19}	0.6605×10^{-2}	0.6233×10^{-5}	-0.1410×10^{-4}	0.2840×10^{-10}
$3_1^+ \rightarrow 4_1^+$	0.3325×10^{-1}	0.1579×10^{-4}	0.1990×10^{-1}	0.5660×10^{-4}	0.1696×10^{-1}	0.4112×10^{-4}	0.2791×10^{-4}	0.1113×10^{-9}
$3_1^+ \rightarrow 2_1^+$	0.3325×10^{-1}	0.1579×10^{-4}	0.1990×10^{-1}	0.5660×10^{-4}	0.1691×10^{-1}	0.4112×10^{-4}	-0.2415×10^{-1}	0.8333×10^{-4}
$4_2^+ \rightarrow 3_1^+$	-0.2929×10^{-4}	0.9535×10^{-8}	-0.1799×10^{-8}	0.3596×10^{-18}	-0.2474×10^{-1}	0.6804×10^{-4}	-0.2415×10^{-1}	0.6481×10^{-4}
$4_2^+ \rightarrow 2_2^+$	0.2218×10^{-1}	0.5440×10^{-4}	0.6854×10^{-2}	0.5220×10^{-5}	-0.1667×10^{-2}	0.3088×10^{-6}	0.9883×10^{-11}	0.1085×10^{-22}
$4_2^+ \rightarrow 4_1^+$	0.1072	0.1276×10^{-2}	0.4368×10^{-4}	0.2120×10^{-5}	-0.1657	0.3053×10^{-2}	-0.2472×10^{-1}	0.6795×10^{-4}
$4_2^+ \rightarrow 2_1^+$	-0.2929×10^{-3}	0.9535×10^{-8}	-0.1799×10^{-8}	0.3596×10^{-18}	-0.2474×10^{-1}	0.6804×10^{-1}	-0.2415×10^{-2}	0.6481×10^{-4}
$2_3^+ \rightarrow 4_2^+$	0.4973×10^{-2}	0.4947×10^{-5}	0.8453×10^{-9}	0.1429×10^{-18}	0.4416×10^{-8}	0.3900×10^{-17}	0.6191×10^{-8}	0.7667×10^{-17}
$2_3^+ \rightarrow 3_1^+$	-0.2540×10^{-1}	0.1290×10^{-3}	0.2599×10^{-1}	0.1351×10^{-3}	0.2581×10^{-4}	0.1333×10^{-17}	0.9883×10^{-11}	0.1953×10^{-22}
$2_3^+ \rightarrow 2_2^+$	0.1450×10^{-4}	0.4209×10^{-4}	0.1789×10^{-7}	0.6404×10^{-16}	0.2968×10^{-7}	0.1762×10^{-15}	0.6328×10^{-8}	0.8009×10^{-17}

Spin Sequences	$^{130}_{56}\text{Ba}_{74}$		$^{132}_{56}\text{Ba}_{76}$		$^{134}_{56}\text{Ba}_{78}$		$^{136}_{56}\text{Ba}_{80}$	
	$\langle I_f \hat{T}^{(M)} I_i \rangle$ (\square_n)	B(MI) (\square_n) ²	$\langle I_f \hat{T}^{(M)} I_i \rangle$ (\square_n)	B(MI) (\square_n) ²	$\langle I_f \hat{T}^{(M)} I_i \rangle$ (\square_n)	B(MI) (\square_n) ²	$\langle I_f \hat{T}^{(M)} I_i \rangle$ (\square_n)	B(MI) (\square_n) ²
$2^+ \rightarrow 4^+$	-0.2540×10^{-1}	0.1290×10^{-3}	0.2599×10^{-1}	0.1351×10^{-3}	0.2581×10^{-8}	0.1333×10^{-17}	0.9883×10^{-11}	0.1953×10^{-22}
$2^+ \rightarrow 2^+$	0.3241×10^{-1}	0.2106×10^{-2}	0.7360×10^{-1}	0.1083×10^{-2}	0.2910×10^{-8}	0.1694×10^{-17}	0.9985×10^{-11}	0.1994×10^{-22}
$6^+ \rightarrow 4^+$	-0.1459×10^{-1}	0.1637×10^{-4}	0.6028×10^{-9}	0.2795×10^{-19}	0.6605×10^{-2}	0.3356×10^{-5}	0.2452×10^{-7}	0.4625×10^{-16}
$6^+ \rightarrow 4^+$	0.3325×10^{-1}	0.8565×10^{-4}	0.1990×10^{-1}	0.3047×10^{-4}	0.1696×10^{-1}	0.2214×10^{-4}	0.2791×10^{-4}	0.5996×10^{-10}
$2^+ \rightarrow 4^+$	-0.9868×10^{-2}	0.1947×10^{-4}	0.3063×10^{-13}	0.1876×10^{-21}	0.2455×10^{-1}	0.1205×10^{-3}	0.1649×10^{-1}	0.5444×10^{-4}
$2^+ \rightarrow 2^+$	0.2007×10^{-1}	0.8061×10^{-4}	0.1610×10^{-13}	0.5187×10^{-28}	0.2070×10^{-7}	0.8577×10^{-16}	-0.8299×10^{-7}	0.1377×10^{-14}
$2^+ \rightarrow 3^+$	0.4312×10^{-2}	0.3720×10^{-5}	0.3063×10^{-15}	0.1876×10^{-31}	-0.3803×10^{-3}	0.2893×10^{-2}	0.1155×10^{-5}	0.2671×10^{-12}
$2^+ \rightarrow 2^+$	-0.4949×10^{-1}	0.4900×10^{-3}	0.9208×10^{-7}	0.1519×10^{-29}	0.6698×10^{-1}	0.8973×10^{-3}	0.1662×10^{-1}	0.5528×10^{-1}
$2^+ \rightarrow 4^+$	0.4312×10^{-2}	0.3720×10^{-5}	0.3063×10^{-15}	0.1876×10^{-31}	-0.3803×10^{-3}	0.2893×10^{-2}	0.1662×10^{-1}	0.5528×10^{-1}
$2^+ \rightarrow 2^+$	0.1127×10^{-1}	0.2540×10^{-4}	-0.2755×10^{-14}	0.1519×10^{-29}	-0.2113×10^{-3}	0.8932×10^{-4}	0.1160×10^{-5}	0.2691×10^{-12}
$4^+ \rightarrow 4^+$	0.3630×10^{-1}	0.1464×10^{-3}	0.4625×10^{-7}	0.2377×10^{-15}	0.7702×10^{-7}	0.6591×10^{-15}	0.6601×10^{-8}	0.4841×10^{-17}
$4^+ \rightarrow 3^+$	-0.2540×10^{-1}	0.7170×10^{-4}	0.2599×10^{-1}	0.7510×10^{-4}	0.2581×10^{-4}	0.7406×10^{-18}	0.9883×10^{-11}	0.1085×10^{-22}
$4^+ \rightarrow 2^+$	0.4973×10^{-2}	0.2748×10^{-3}	0.8453×10^{-9}	0.7940×10^{-19}	0.4416×10^{-8}	0.2166×10^{-17}	0.6191×10^{-5}	0.4259×10^{-17}
$4^+ \rightarrow 4^+$	-0.1788×10^{-1}	0.3554×10^{-2}	0.1824	0.3699×10^{-3}	0.6793×10^{-8}	0.5128×10^{-17}	0.1018×10^{-10}	0.1152×10^{-22}

Spin Sequences	¹³⁰ Ba ₇₄		¹³² Ba ₇₆		¹³⁴ Ba ₇₈		¹³⁶ Ba ₈₀	
	$\langle I_f \ \hat{T}^{(M)} \ I_i \rangle$ (Qn)	B(MI) (Qn) ²	$\langle I_f \ \hat{T}^{(M)} \ I_i \rangle$ (Qn)		$\langle I_f \ \hat{T}^{(M)} \ I_i \rangle$ (Qn)	B(MI) (Qn) ²	$\langle I_f \ \hat{T}^{(M)} \ I_i \rangle$ (Qn)	B(MI) (Qn) ²
4 ₃ ⁺ → 2 ₁ ⁺	-0.2540 x10 ⁻¹	0.7170 x10 ⁻⁴	0.2599 x10 ⁻¹	0.7511 x10 ⁻⁴	0.2581 x10 ⁻³	0.7466 x10 ⁻¹⁸	0.9883 x10 ⁻¹¹	0.1085 x10 ⁻²²
5 ₁ ⁺ → 6 ₁ ⁺	0.3325 x10 ⁻¹	0.1005 x10 ⁻³	0.1990 x10 ⁻¹	0.3601 x10 ⁻⁴	-0.2474 x10 ⁻¹	0.5567 x10 ⁻⁴	0.2791 x10 ⁻⁴	0.7086 x10 ⁻¹⁰
5 ₁ ⁺ → 4 ₂ ⁺	-0.1459 x10 ⁻¹	0.1935 x10 ⁻⁴	0.6028 x10 ⁻⁹	0.3303 x10 ⁻¹⁹	0.6605 x10 ⁻²	0.3966 x10 ⁻⁵	0.2452 x10 ⁻⁷	0.5466 x10 ⁻¹⁶
5 ₁ ⁺ → 4 ₁ ⁺	0.3325 x10 ⁻¹	0.1005 x10 ⁻³	0.1990 x10 ⁻¹	0.3601 x10 ⁻⁴	-0.2474 x10 ⁻¹	0.5567 x10 ⁻⁴	0.2791 x10 ⁻⁴	0.7086 x10 ⁻¹⁰
2 ₂ ⁺ → 2 ₂ ⁺	0.6063 x10 ⁻¹	0.7354 x10 ⁻³	-0.5397 x10 ⁻²	0.5827 x10 ⁻¹⁵	0.1356 x10 ⁻⁷	0.3682 x10 ⁻¹⁶	-	-
2 ₂ ⁺ → 2 ₁ ⁺	0.1599 x10 ⁻²	0.4231 x10 ⁻⁵	-0.6446 x10 ⁻²	0.8311 x10 ⁻⁵	-0.2133 x10 ⁻⁸	0.9093 x10 ⁻¹⁸	-	-
4 ₄ ⁺ → 5 ₁ ⁺	0.4312 x10 ⁻²	0.2066 x10 ⁻⁵	0.3063 x10 ⁻¹⁵	0.1042 x10 ⁻³¹	-0.3803 x10 ⁻³	0.1607 x10 ⁻⁷	0.1155 x10 ⁻⁵	0.1484 x10 ⁻¹²
4 ₄ ⁺ → 4 ₃ ⁺	0.7555 x10 ⁻¹	0.6343 x10 ⁻³	0.4010 x10 ⁻¹³	0.1786 x10 ⁻²⁷	0.5861 x10 ⁻²	0.3817 x10 ⁻¹⁵	0.1976 x10 ⁻⁶	0.4338 x10 ⁻¹⁴
4 ₄ ⁺ → 4 ₂ ⁺	-0.1401	0.2181 x10 ⁻²	0.2314 x10 ⁻⁶	0.5950 x10 ⁻¹⁴	0.1639	0.2988 x10 ⁻²	0.1691 x10 ⁻¹	0.3180 x10 ⁻⁴
4 ₄ ⁺ → 3 ₁ ⁺	0.4312 x10 ⁻²	0.2066 x10 ⁻⁵	0.2599 x10 ⁻¹	0.7510 x10 ⁻⁴	0.1696 x10 ⁻¹	0.3198 x10 ⁻⁴	0.1155 x10 ⁻³	0.1484 x10 ⁻¹²
4 ₄ ⁺ → 4 ₁ ⁺	0.2717 x10 ⁻¹	0.8208 x10 ⁻⁴	0.7648 x10 ⁻¹⁴	0.6499 x10 ⁻²⁹	0.1752 x10 ⁻³	0.3412 x10 ⁻⁸	0.1170 x10 ⁻¹	0.1521 x10 ⁻¹²
3 ₂ ⁺ → 4 ₂ ⁺	0.2210 x10 ⁻¹	0.6995 x10 ⁻⁴	0.6854 x10 ⁻²	0.6711 x10 ⁻⁵	-0.1667 x10 ⁻²	0.3971 x10 ⁻⁶	-	-
3 ₂ ⁺ → 3 ₁ ⁺	0.6446 x10 ⁻¹	0.5937 x10 ⁻³	0.3199 x10 ⁻⁸	0.1462 x10 ⁻¹³	-0.1097	0.1719 x10 ⁻²	-	-
3 ₂ ⁺ → 2 ₂ ⁺	0.2210 x10 ⁻¹	0.6995 x10 ⁻⁴	0.6854 x10 ⁻²	0.6711 x10 ⁻⁵	-0.1667 x10 ⁻²	0.3971 x10 ⁻⁶	-	-

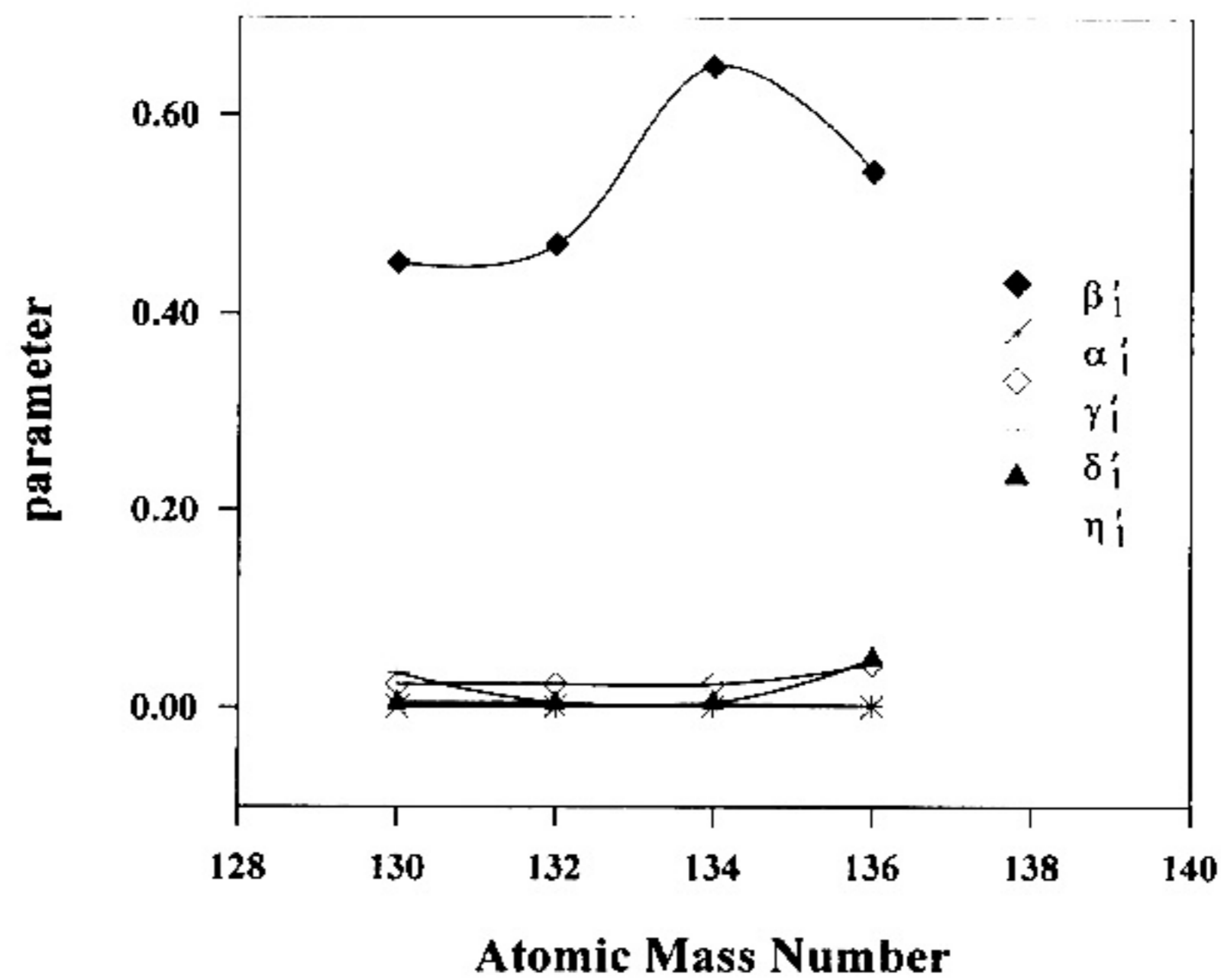
Spin Sequences	¹³⁰ Ba ₇₄		¹³² Ba ₇₆		¹³⁴ Ba ₇₈		¹³⁶ Ba ₈₀	
	$\langle I_f \ \hat{T}^{(M)} \ I_i \rangle$ (□n)	B(M) (□n) ²	$\langle I_f \ \hat{T}^{(M)} \ I_i \rangle$ (□n)		$\langle I_f \ \hat{T}^{(M)} \ I_i \rangle$ (□n)	B(M) (□n) ²	$\langle I_f \ \hat{T}^{(M)} \ I_i \rangle$ (□n)	B(M) (□n) ²
3 ₂ ⁺ → 4 ₁ ⁺	-0.2929 x 10 ⁻³	0.1226 x 10 ⁻⁷	-0.1799 x 10 ⁻⁴	0.6423 x 10 ⁻¹⁸	-0.2474 x 10 ⁻¹	0.8749 x 10 ⁻⁴	-	-
3 ₂ ⁺ → 2 ₁ ⁺	-0.2929 x 10 ⁻³	0.1226 x 10 ⁻⁷	-0.1799 x 10 ⁻⁴	0.6423 x 10 ⁻¹⁸	-0.2474 x 10 ⁻¹	0.8749 x 10 ⁻⁴	-	-
6 ₂ ⁺ → 5 ₁ ⁺	-0.2929 x 10 ⁻³	0.6601 x 10 ⁻⁴	-0.1799 x 10 ⁻²	0.2489 x 10 ⁻¹⁸	-0.2474 x 10 ⁻¹	0.4711 x 10 ⁻⁴	-0.2415 x 10 ⁻¹	0.4487 x 10 ⁻⁴
6 ₂ ⁺ → 4 ₂ ⁺	0.2212 x 10 ⁻¹	0.3766 x 10 ⁻⁴	0.6853 x 10 ⁻²	0.3614 x 10 ⁻⁵	0.1667 x 10 ⁻²	0.2138 x 10 ⁻⁴	-0.1410 x 10 ⁻⁴	0.1529 x 10 ⁻¹⁰
6 ₂ ⁺ → 4 ₁ ⁺	-0.2929 x 10 ⁻³	0.6601 x 10 ⁻⁴	-0.1799 x 10 ⁻²	0.2489 x 10 ⁻¹⁸	-0.2474 x 10 ⁻¹	0.4711 x 10 ⁻⁴	-0.2415 x 10 ⁻¹	0.4487 x 10 ⁻⁴
2 ₆ ⁺ → 2 ₂ ⁺	-0.5374 x 10 ⁻²	0.5777 x 10 ⁻³	0.4475 x 10 ⁻¹	0.4005 x 10 ⁻³	-	-	-	-
2 ₆ ⁺ → 2 ₁ ⁺	0.4136 x 10 ⁻²	0.3414 x 10 ⁻⁵	-0.1148 x 10 ⁻²	0.2639 x 10 ⁻¹⁸	-	-	-	-
5 ₂ ⁺ → 6 ₂ ⁺	0.2212 x 10 ⁻¹	0.4451 x 10 ⁻⁴	0.6854 x 10 ⁻²	0.4271 x 10 ⁻⁵	-0.1667 x 10 ⁻²	0.2527 x 10 ⁻⁴	-	-
5 ₂ ⁺ → 5 ₁ ⁺	0.1606	0.2345 x 10 ⁻²	0.5160 x 10 ⁻⁸	0.2421 x 10 ⁻¹⁷	-0.2358	0.5056 x 10 ⁻²	-	-
5 ₂ ⁺ → 6 ₁ ⁺	-0.2929 x 10 ⁻³	0.7802 x 10 ⁻⁴	-0.1799 x 10 ⁻⁸	0.2942 x 10 ⁻¹⁸	-0.2474 x 10 ⁻¹	0.5567 x 10 ⁻⁴	-	-
5 ₂ ⁺ → 4 ₂ ⁺	0.2212 x 10 ⁻¹	0.4451 x 10 ⁻⁴	0.6854 x 10 ⁻²	0.4271 x 10 ⁻⁵	-0.1667 x 10 ⁻²	0.2527 x 10 ⁻⁴	-	-
5 ₂ ⁺ → 4 ₁ ⁺	-0.2929 x 10 ⁻³	0.7802 x 10 ⁻⁴	-0.1799 x 10 ⁻⁴	0.2942 x 10 ⁻¹⁸	-0.2474 x 10 ⁻¹	0.5567 x 10 ⁻⁴	-	-
8 ₁ ⁺ → 6 ₂ ⁺	0.2212 x 10 ⁻¹	0.2880 x 10 ⁻⁴	0.6028 x 10 ⁻⁹	0.2137 x 10 ⁻³	0.6605 x 10 ⁻²	0.2566 x 10 ⁻⁵	0.2452 x 10 ⁻⁷	0.3537 x 10 ⁻¹⁶
8 ₁ ⁺ → 6 ₁ ⁺	0.3325 x 10 ⁻¹	0.6504 x 10 ⁻⁴	0.1990 x 10 ⁻¹	0.2306 x 10 ⁻⁴	0.1696 x 10 ⁻²	0.1693 x 10 ⁻⁴	0.2791 x 10 ⁻⁴	0.4585 x 10 ⁻¹⁰

Spin Sequences	¹³⁰ Ba ₇₄		¹³² Ba ₇₆		¹³⁴ Ba ₇₈		¹³⁶ Ba ₈₀	
	$\langle I_f \parallel \hat{T}^{(MI)} \parallel I_i \rangle$ (Dn)	B(MI) (Dn) ²	$\langle I_f \parallel \hat{T}^{(MI)} \parallel I_i \rangle$ (Dn)	$\langle I_f \parallel \hat{T}^{(MI)} \parallel I_i \rangle$ (Dn)	$\langle I_f \parallel \hat{T}^{(MI)} \parallel I_i \rangle$ (Dn)	B(MI) (Dn) ²	$\langle I_f \parallel \hat{T}^{(MI)} \parallel I_i \rangle$ (Dn)	B(MI) (Dn) ²
7 ₁ ⁺ → 5 ₂ ⁺	0.2212 x 10 ⁻¹	0.3264 x 10 ⁻⁴	0.6028 x 10 ⁻⁹	0.2422 x 10 ⁻¹⁹	0.6605 x 10 ⁻²	0.2908 x 10 ⁻⁵	-	-
7 ₁ ⁺ → 6 ₂ ⁺	-0.1459 x 10 ⁻¹	0.1419 x 10 ⁻⁴	0.6028 x 10 ⁻⁹	0.2422 x 10 ⁻¹⁹	0.6605 x 10 ⁻²	0.2908 x 10 ⁻⁵	-	-
7 ₁ ⁺ → 5 ₁ ⁺	-0.2929 x 10 ⁻³	0.5721 x 10 ⁻⁴	0.1990 x 10 ⁻¹	0.2461 x 10 ⁻⁴	0.1696 x 10 ⁻¹	0.1919 x 10 ⁻⁴	-	-
7 ₁ ⁺ → 6 ₁ ⁺	0.3325 x 10 ⁻¹	0.7371 x 10 ⁻⁴	0.1990 x 10 ⁻¹	0.2461 x 10 ⁻⁴	0.1696 x 10 ⁻¹	0.1919 x 10 ⁻⁴	-	-
8 ₂ ⁺ → 7 ₁ ⁺	-0.2929 x 10 ⁻³	0.5048 x 10 ⁻⁴	-0.1799 x 10 ⁻⁸	0.1903 x 10 ⁻¹⁸	-0.2474 x 10 ⁻¹	0.3602 x 10 ⁻⁴	-	-
8 ₂ ⁺ → 6 ₂ ⁺	0.2212 x 10 ⁻¹	0.2880 x 10 ⁻⁴	0.6854 x 10 ⁻²	0.2763 x 10 ⁻³	-0.1667 x 10 ⁻²	0.1635 x 10 ⁻⁴	-	-
8 ₂ ⁺ → 6 ₁ ⁺	-0.2929 x 10 ⁻³	0.5048 x 10 ⁻⁴	-0.1799 x 10 ⁻⁸	0.1903 x 10 ⁻¹⁸	-0.2474 x 10 ⁻¹	0.3602 x 10 ⁻⁴	-	-
10 ₁ ⁺ → 8 ₂ ⁺	-0.1459 x 10 ⁻¹	0.1013 x 10 ⁻⁴	0.6628 x 10 ⁻⁹	0.1730 x 10 ⁻¹⁹	0.6605 x 10 ⁻²	0.2077 x 10 ⁻⁵	-	-
10 ₁ ⁺ → 8 ₁ ⁺	0.3225 x 10 ⁻¹	0.5265 x 10 ⁻⁴	0.1990 x 10 ⁻¹	0.1886 x 10 ⁻⁴	0.1690 x 10 ⁻¹	0.1370 x 10 ⁻⁴	-	-

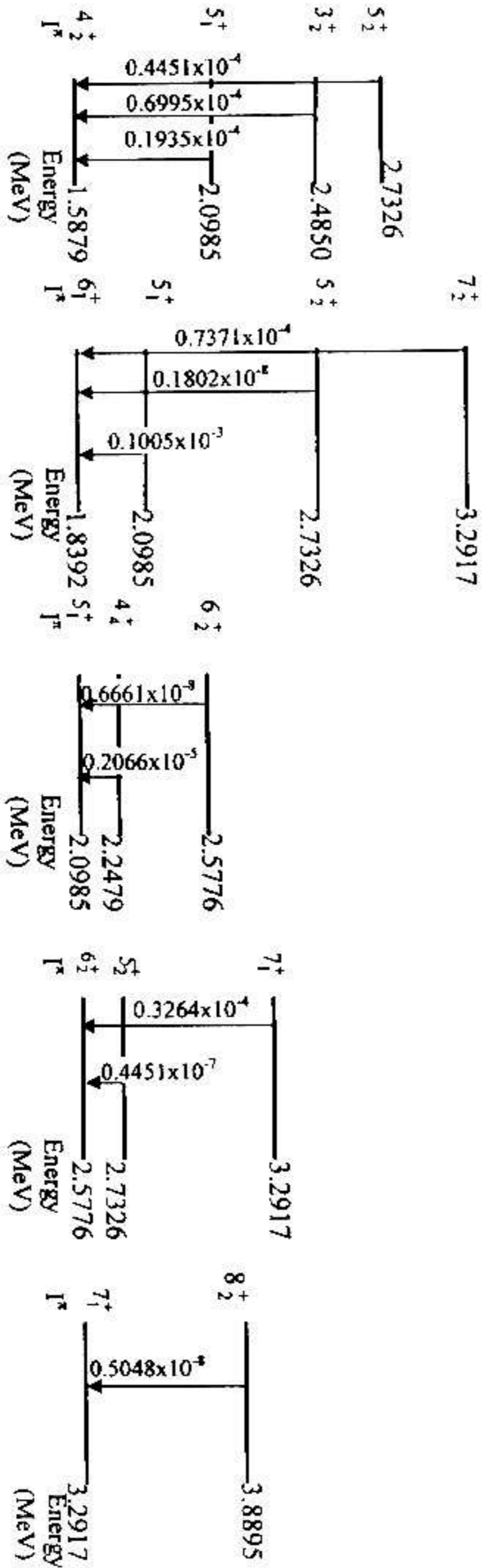
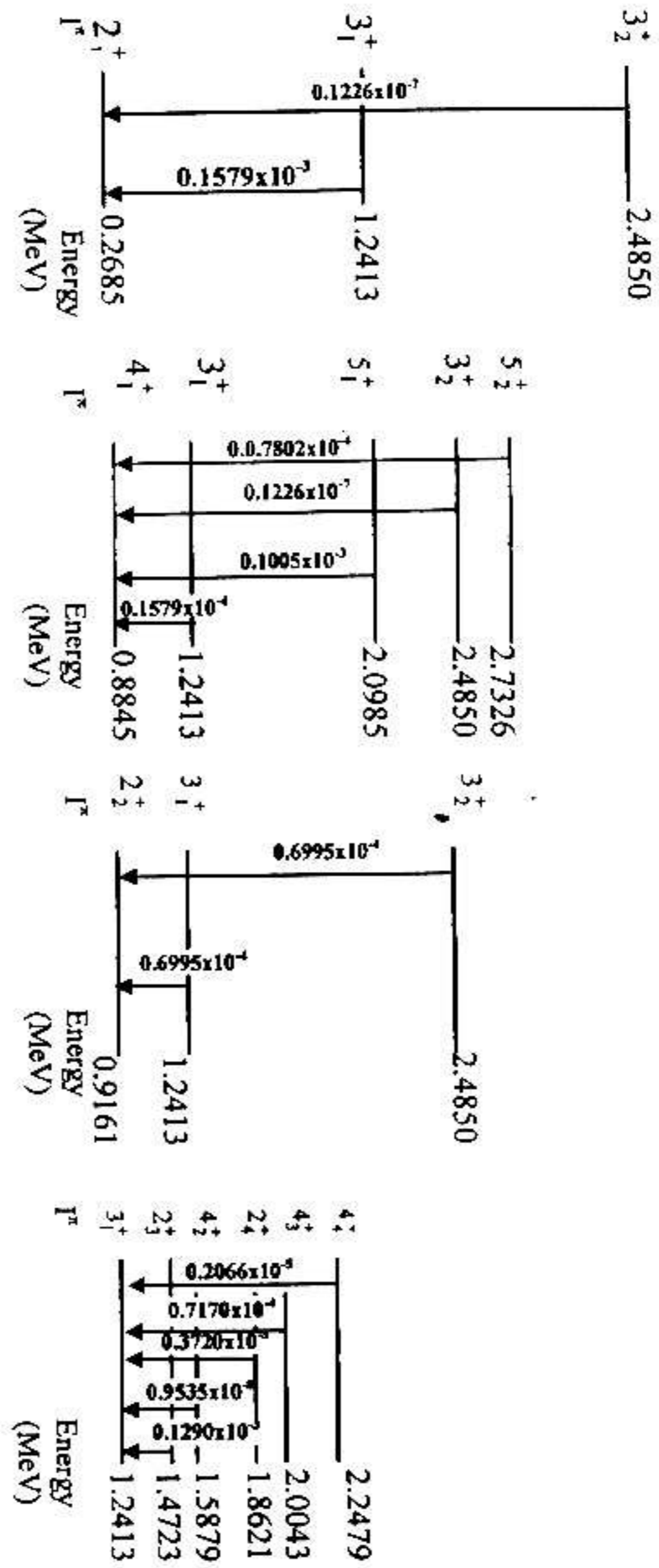
جدول رقم (3) قيم μ_L و μ_L النظرية والعملية لحد الجسم الواحد وحدود الجسم الواحد والوسمين للمعد الكلي للوزونات لنتظار الباريوم
Ba (A=130-136)

State	¹³⁰ Ba ₇₄		¹³² Ba ₇₆		¹³⁴ Ba ₇₈		¹³⁶ Ba ₈₀									
	μ_L (μ)	μ_L (μ)	μ_L (μ)	μ_L (μ)	μ_L (μ)	μ_L (μ)	μ_L (μ)	μ_L (μ)								
2 ⁺	0.3502	0.3504 0.35±0.05 ^a	0.7005	0.7010 0.7000 ^a	0.3404	0.3400 0.34±0.03 ^a	0.6808	0.6800 0.6800 ^b	0.4303	0.4320 0.43±0.03 ^a	0.8607	0.8648 0.8600 ^{b,c}	0.3507	0.3517 0.35±0.05 ^a	0.7015	0.7035 0.6990 ^b
2 ⁺	0.3502	0.3484	0.7005	0.6969	0.3404	0.3705	0.6808	0.7411	0.4303	0.4484	0.8607	0.8968	0.3507	0.4058	0.7015	0.8171
2 ⁺	0.3502	0.3456	0.7005	0.6912	0.3404	0.3471	0.6808	0.6943	0.4303	0.4692	0.8607	0.9384	0.3507	0.4369	0.7015	0.8739
3 ⁺	0.3502	0.3540	1.0510	1.0620	0.3404	0.3414	1.0210	1.0240	0.4303	0.4361	1.2910	1.2940	0.3507	0.3517	1.0520	1.0550
3 ⁺	0.3502	0.3546	1.0510	1.0620	0.3404	0.3369	1.0210	1.0100	0.4303	0.4332	1.2910	1.2990	0.3507	0.4189	1.0520	1.2560
3 ⁺	0.3502	0.3543	1.0510	1.0630	0.3404	0.3476	1.0210	1.0420	0.4303	0.4357	1.2910	1.3070	0.3507	0.4526	1.0520	1.3570
4 ⁺	0.3502	0.3589	1.4010	1.4350	0.3404	0.3413	1.3610	1.3650	0.4303	0.4381	1.7210	1.7520	0.3507	0.3517	1.4030	1.4070
4 ⁺	0.3502	0.3600	1.4010	1.4400	0.3404	0.3856	1.3610	1.5420	0.4303	0.4585	1.7210	1.8340	0.3507	0.4279	1.4030	1.7110
4 ⁺	0.3502	0.3620	1.4010	1.4480	0.3404	0.3566	1.3610	1.4260	0.4303	0.4843	1.7210	1.9370	0.3507	0.4661	1.4030	1.8640
4 ⁺	0.3502	0.3949	1.4010	1.5790	0.3404	0.4407	1.3610	1.7630	0.4303	0.4846	1.7210	1.9380	0.3507	0.5024	1.4030	2.0160
5 ⁺	0.3502	0.3641	1.7520	1.8200	0.3404	0.3424	1.7020	1.7120	0.4303	0.4390	2.1510	2.1550	0.3507	0.3517	1.7530	1.7580
5 ⁺	0.3502	0.3659	1.7520	1.8290	0.3404	0.3904	1.7020	1.9610	0.4303	0.4399	2.1510	2.1720	0.3507	0.4360	1.7530	2.1800

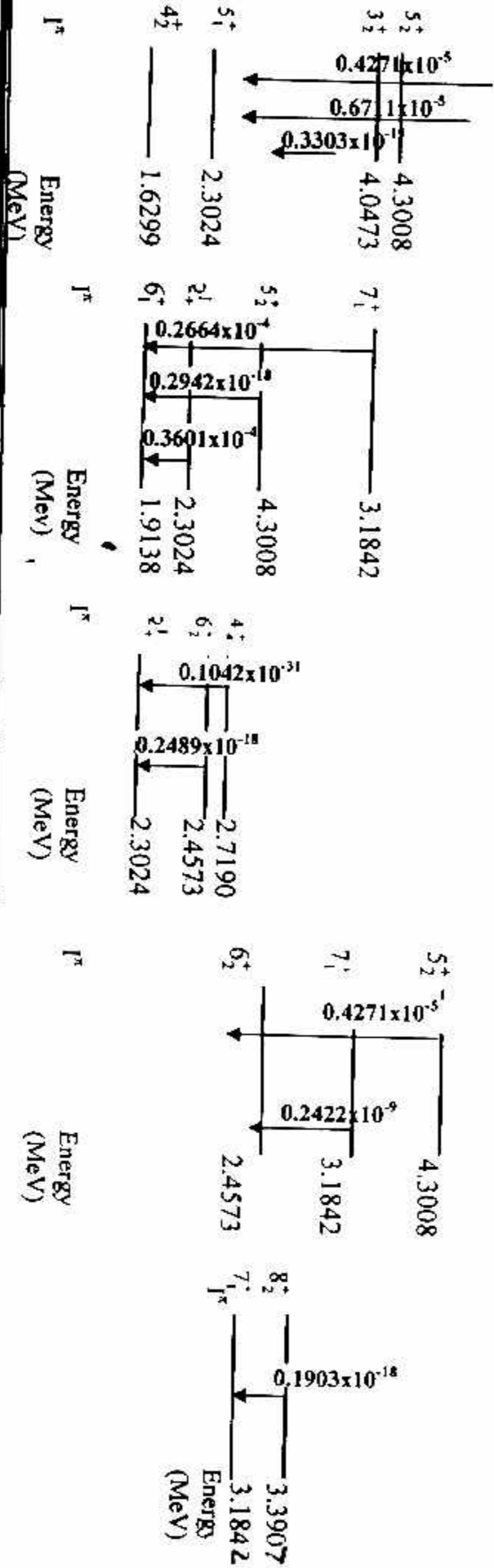
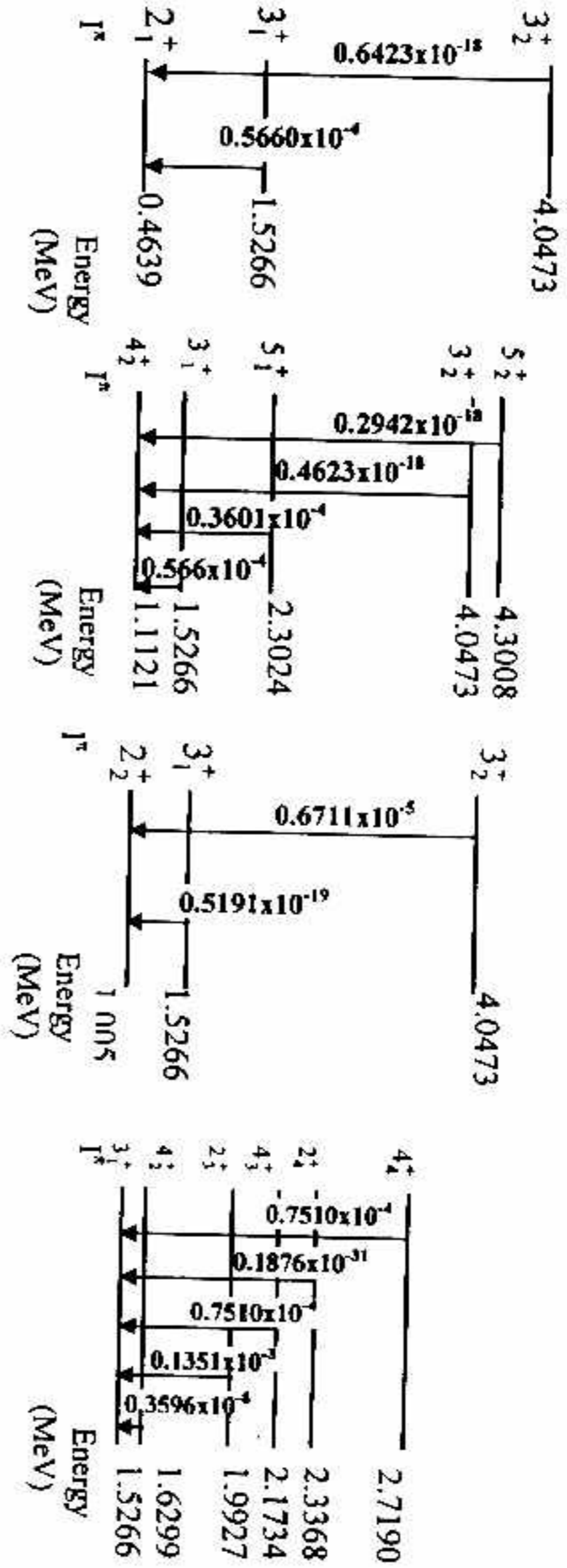
Reference[13].^a
Reference[14].^b
Reference[15].^c



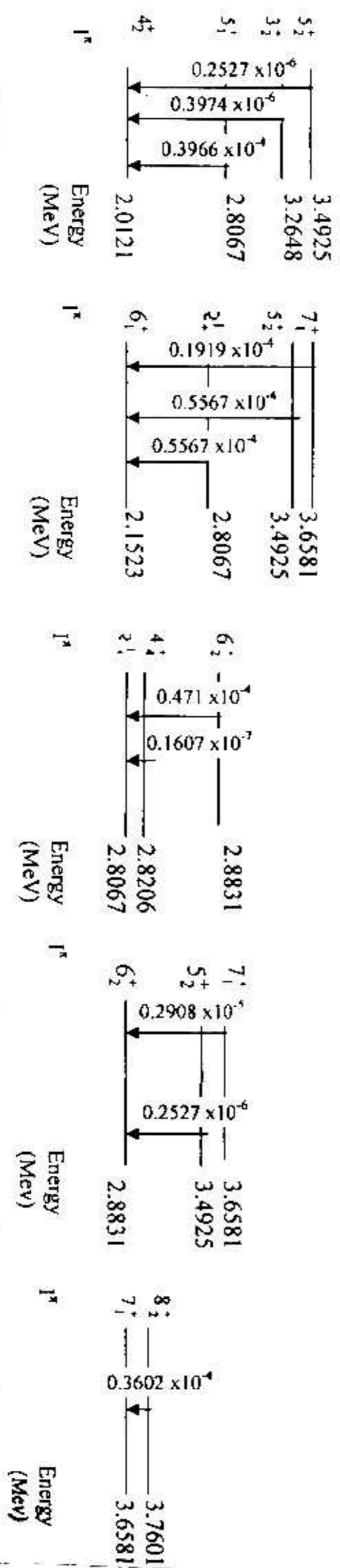
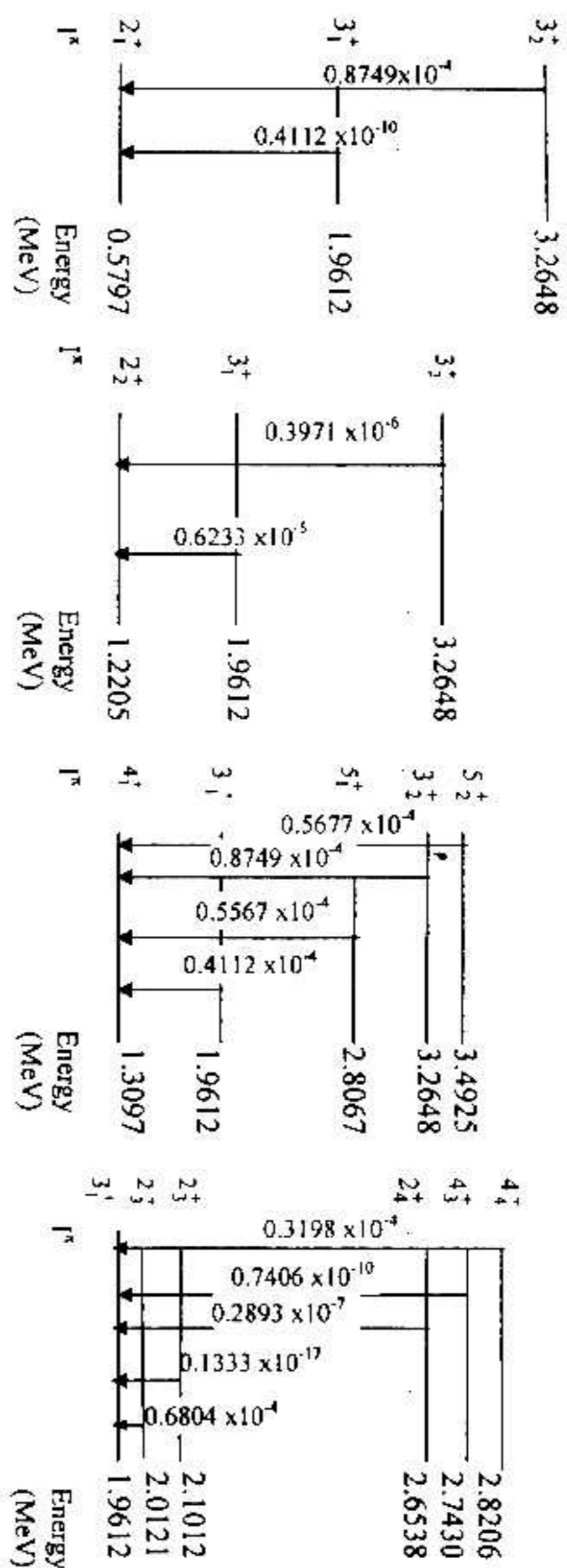
شكل (1) الاعلومات الخاصة بمعادلة مؤثر الانتقالات المغناطيسية لحدود الجسيم وحدود الجسيمين للعدد الكلي للبوزونات.



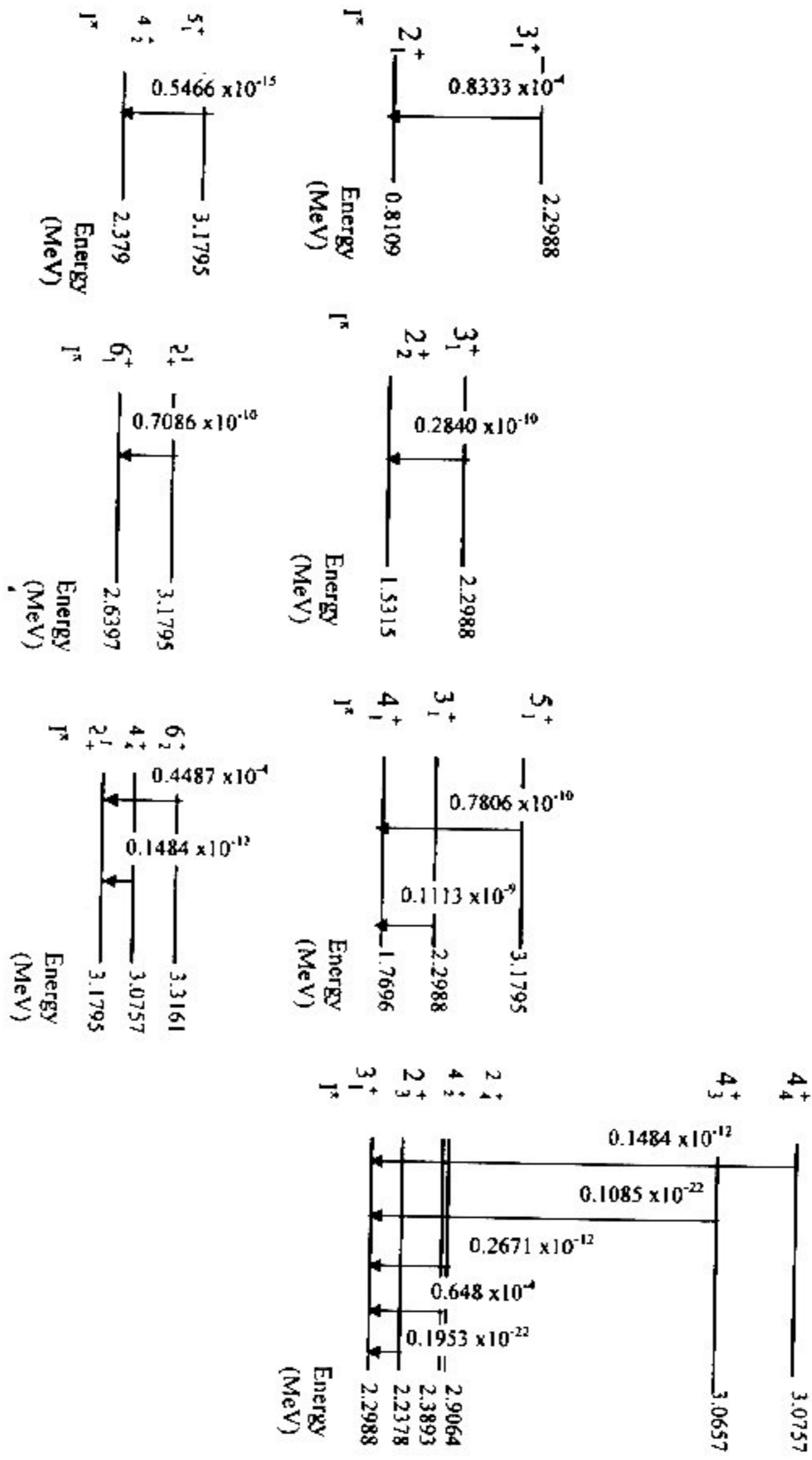
الشكل (2) احتمالية الانتقالات المغناطيسية ثنائية القطب B(M1) للجسيم الواحد والجسيمين لتفكك Ba-130.



شكل (3) احتمالية الإشعاعات المقاطعية ثنائية القطب B(M1) للنجم الواحد والمجموع لتأثير الهاروم Ba-132.



شكل (4) احتمالية الانتقالات المغناطيسية ثنائية القطب B(M1) للجسيم الواحد والجسيمين نظير الباريوم Ba-134.



البيانات المعطاة للمعطيات المغناطيسية ثنائية القطب B(M1) للجسيم الواحد والجميعين لنظير الباريوم Ba-136.

B(M1) and $\langle I_f \parallel \hat{T}^{(M1)} \parallel I_i \rangle$ for one and two bodies of even-even Ba(A=130-136) isotopes using IBM-1

I. T. Al-Alawy and K. S. Ibraheim
Department Physics ,College of Science, University Al-
Mustansiriyah

Abstract

In the present work the nuclear structure of even-even Ba(A=130-136, Z=56) isotopes was studied using (IBM-1). The reduced matrix element of magnetic dipole moment $\langle I_f \parallel \hat{T}^{(M1)} \parallel I_i \rangle$ and the magnetic dipole transitions probability B(M1) were calculated for one and two bodies of even-even Ba(A=130-136, Z=56). A good agreement had been found of present with available experimental data.